

УДК 621.317.725+621.372

В. М. БЕЛОВ,
В. А. БУРОВЦЕВ, И. Ф. КЛИСТОРИН, А. Е. ПОДЗИН
(Новосибирск)

ШИРОКОПОЛОСНЫЙ УПРАВЛЯЕМЫЙ ДЕЛИТЕЛЬ НАПРЯЖЕНИЯ НА ПОЛЕВЫХ ТРАНЗИСТОРАХ

В [1] было показано, что автоматические цифровые вольтметры (АЦВ) переменного тока, построенные по принципу «формирования опорного напряжения», обеспечивают наиболее высокие метрологические и эксплуатационные характеристики — точность, быстродействие, чувствительность и широкополосность при относительной простоте схемы и конструкции. Там же отмечалось, что частотная погрешность такого АЦВ полностью определяется неравномерностью амплитудно-частотной характеристики основного измерительного тракта — широкополосного усилителя с регулируемым усилением, который является составной частью так называемого устройства формирования опорного напряжения (ФОН).

На рис. 1 представлена структурная схема устройства ФОН, состоящего из входной цепи (предварительный усилитель или делитель напряжения), широкополосного усилителя ШУ, компаратора К для сравнения эффективных значений образцового напряжения U_o и выходного напряжения усилителя $U_{вых}$, цепи обратной связи ЦОС и управляемого делителя напряжения УДН, который является регулирующим элементом данной системы автоматического регулирования.

Очевидно, что неравномерность частотной характеристики прямого тракта устройства ФОН определяется частотными свойствами входной цепи, ШУ, К, УДН. Если в настоящее время обеспечение достаточно широкой полосы усилителя, компаратора и входной цепи не вызывает особых затруднений (с учетом того, что входной делитель может быть выполнен на непроволочных резисторах [1]), то этого нельзя сказать об управляемом делителе напряжения, поскольку его параметры являются функцией управляемого напряжения U_y .

УДН в схеме рис. 1 должен иметь: 1) широкий диапазон изменения коэффициента передачи; 2) малые нелинейные и амплитудно-частотные

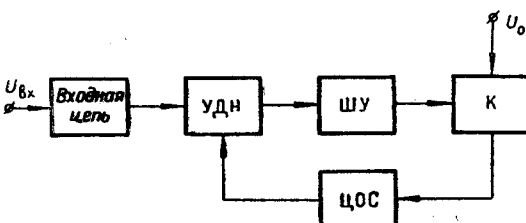


Рис. 1.

искажения периодических напряжений при достаточно большом отношении сигнал/шум; 3) минимальную инерционность по управляющему воздействию (минимальное время установления коэффициента передачи УДН при скачкообразном изменении U_y ; 4) малый коэффициент передачи управляющего напряжения U_y на выход УДН.

Первые два требования обусловлены необходимостью обеспечения заданной погрешности измерения в широкой полосе частот и большом динамическом диапазоне изменения измеряемых напряжений. Выполнение двух последних требований позволяет облегчить условие устойчивости замкнутой системы и получить достаточно высокое быстродействие АЦВ.

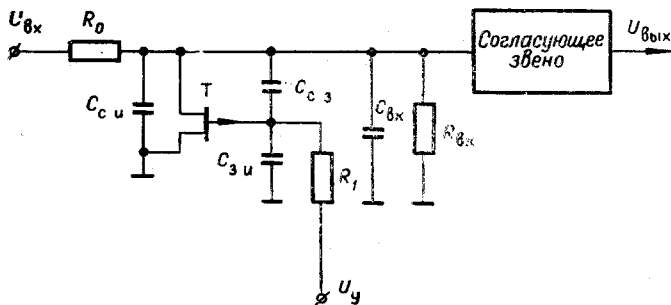


Рис. 2.

Как показали исследования различных вариантов схем УДН, совокупности указанных требований в наибольшей степени отвечает делитель напряжения, в одном из плеч которого в качестве управляемого резистора используется полевой транзистор.

Частотные свойства такого делителя существенно зависят от характера нагрузки. Поэтому в состав УДН целесообразно включить звено, согласующее выход делителя и вход ШУ.

На рис. 2 приведена схема УДН и показаны емкости между стоком — истоком C_{ci} , стоком — затвором C_{cz} и затвором — истоком C_{zi} полевого транзистора, а также входная емкость согласующего звена C_{bx} . Эти емкости и определяют частотные свойства УДН.

Если предположить, что выходное сопротивление источника управляющего напряжения достаточно велико, а емкости C_{ci} , C_{cz} , C_{zi} и C_{bx} не зависят от U_y , то постоянная времени τ управляемого делителя определяется следующим выражением:

$$\tau = \frac{C_{ci} + \frac{C_{cz} C_{zi}}{C_{cz} + C_{zi}} + C_{bx}}{g_{ci}(U_y) + g_{bx} + g_0}. \quad (1)$$

Здесь $g_{ci}(U_y) = \frac{1}{r_{ci}(U_y)}$ — проводимость полевого транзистора, являющаяся функцией управляющего напряжения U_y ; $g_{bx} = \frac{1}{R_{bx}}$ — входная проводимость согласующего звена; $g_0 = \frac{1}{R_0}$ — проводимость верхнего плеча управляемого делителя.

Из выражения (1) следует, что постоянная времени УДН зависит от значения U_y , т. е. $\tau = f(U_y)$.

$$\tau_{\text{гр}} = \frac{1}{\pi \tau(U_y)} \sqrt{\frac{V}{2}} . \quad (2)$$

Как видно из (2), минимальная граничная частота $F_{\text{гр} \min}$ соответствует максимальной постоянной времени цепи τ_{\max} . Чтобы определить τ_{\max} , необходимо найти значение g_0 , которое может быть выражено через диапазон изменения коэффициента передачи УДН d , $g_{\text{вх}}$ и параметры полевого транзистора $g_{\text{см} \max}$, $g_{\text{см} \min}$:

$$g_0 = \frac{g_{\text{см} \max} + g_{\text{вх}} - d(g_{\text{см} \min} + g_{\text{вх}})}{d - 1}, \quad (3)$$

где $g_{\text{см} \max}$, $g_{\text{см} \min}$ — соответственно максимальная и минимальная проводимость полевого транзистора; $d = \frac{K_{\max}}{K_{\min}}$ — диапазон изменения коэффициента передачи УДН, равный отношению максимального коэффициента передачи к минимальному. В результате совместного решения уравнений (1) и (3) получим

$$\tau_{\max} = \frac{d - 1}{g_{\text{см} \max} - g_{\text{см} \min}} \left(C_{\text{сн}} + \frac{C_{\text{сз}} C_{\text{зи}}}{C_{\text{сз}} + C_{\text{зи}}} + C_{\text{вх}} \right). \quad (4)$$

Отсюда следует, что для уменьшения τ_{\max} необходимо выбирать полевой транзистор с возможно большей проводимостью $g_{\text{см} \max}$, меньшими емкостями $C_{\text{сн}}$, $C_{\text{сз}}$, $C_{\text{зи}}$, а также стремиться к уменьшению $C_{\text{вх}}$ согласующего звена. В реальных полевых транзисторах $g_{\text{см} \max} = 0,002 \div 0,003 \text{ } 1/\text{ом}$, $g_{\text{см} \min} = 10^{-8} \div 10^{-9} \text{ } 1/\text{ом}$; $C_{\text{сн}} = 0,1 \div 0,2 \text{ } \text{пФ}$, $C_{\text{сз}} \approx C_{\text{зи}} = 5 \div 8 \text{ } \text{пФ}$. Входная емкость эмиттерных повторителей лежит в пределах $1 \div 2 \text{ } \text{пФ}$, если принять соответствующие меры к ее уменьшению. Диапазон изменения коэффициента передачи УДН определяется динамическим диапазоном измеряемых напряжений АЦВ, и желательно, чтобы он имел значение не менее 100. Исходя из этих данных, можно рассчитать, что уже на частоте $F_{\text{гр}} = 125 \text{ кГц}$ частотная погрешность будет достигать $\delta_f = 1\%$.

Как видно из приведенного примера, наибольший вклад в величину τ_{\max} вносят проходные емкости полевого транзистора $C_{\text{зи}}$, $C_{\text{сз}}$ и входная емкость $C_{\text{вх}}$ согласующего устройства. Это обстоятельство следует считать благоприятным, поскольку эти емкости могут быть в значительной степени компенсированы с помощью обратных связей.

На рис. 3 изображена принципиальная схема УДН, частотная погрешность которого существенно уменьшена по сравнению с УДН рис. 2. В этой схеме на затвор полевого транзистора, кроме управляющего напряжения U_y через конденсатор C подается выходное напряжение согласующего звена, в качестве которого ис-

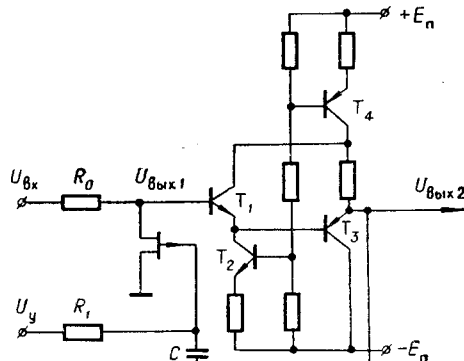


Рис. 3.

пользуется двухступенчатый эмиттерный повторитель на транзисторах $T_1 - T_4$.

Очевидно, что в этом случае действие емкости C_{cz} будет ослаблено, т. е. для эквивалентной емкости C_{cz}^* с учетом указанной связи может быть записано следующее выражение:

$$C_{cz}^* = C_{cz} (1 - K_n + \operatorname{tg} \varphi), \quad (5)$$

где K_n — коэффициент передачи эмиттерного повторителя; φ — фазовый сдвиг, вносимый эмиттерным повторителем и переходной цепью R_s, C .

Таким образом, для лучшей компенсации проходной емкости полевого транзистора эмиттерный повторитель должен иметь возможно больший коэффициент передачи и минимальный фазовый сдвиг выходного напряжения относительно входного. Помимо этого, он должен обладать малой входной емкостью. Можно показать, что схема эмиттерного повторителя, изображенная на рис. 3, в наибольшей степени удовлетворяет указанным требованиям. Действительно, коэффициент передачи каждой из ступеней повторителя весьма близок к единице, поскольку в качестве эмиттерных нагрузок здесь используются токостабилизирующие двухполюсники (на транзисторах T_2 и T_4), которые имеют большое динамическое сопротивление. Фазовый сдвиг выходного напряжения относительно входного определяется выходными сопротивлениями ступеней, емкостью перехода база — коллектор C_{6k} транзистора T_3 и емкостью нагрузки эмиттерного повторителя. Выходное сопротивление как первой, так и второй ступени здесь может быть сделано достаточно малым благодаря надлежащему выбору токов транзисторов T_2 и T_4 . Данный эмиттерный повторитель обладает и малой емкостью C_{bx} , вследствие того, что коллекторное напряжение входного транзистора T_1 изменяется синфазно с входным сигналом.

Соотношения для определения значения входной емкости эмиттерных повторителей с учетом их коэффициентов передачи приведены в [2]. Для нашего случая, учитывая фазовый сдвиг выходного напряжения относительно входного, выражение принимает следующий вид:

$$C_{bx} = C_{69} (1 - K_{n1} + \operatorname{tg} \varphi_1) + C_{6k} [1 - K_{n1} K_{n2} + \operatorname{tg} (\varphi_1 + \varphi_2)]. \quad (6)$$

Здесь C_{69}, C_{6k} — емкость базового и коллекторного переходов транзистора T_1 ; K_{n1}, K_{n2} — коэффициенты передачи первой и второй ступеней; φ_1, φ_2 — фазовые сдвиги сигнала, вносимые первой и второй ступенью.

Известны и другие схемы эмиттерных повторителей, например описанная в [3], в которых также компенсируется емкость коллекторного перехода входного транзистора. Однако в этих схемах первая ступень должна работать в режиме малых токов (из-за необходимости включения достаточно большого сопротивления в цепь коллектора входного транзистора), что само по себе ухудшает частотные свойства повторителя [4] и приводит к повышению выходного сопротивления ступени. Поэтому, на наш взгляд, предлагаемую схему эмиттерного повторителя следует признать более эффективной, если требуется получить минимальные значения входной емкости и фазового сдвига выходного напряжения относительно входного.

Экспериментальные исследования УДН по схеме рис. 3 показали, что коэффициент передачи эмиттерного повторителя составляет 0,99, а $\operatorname{tg} \varphi$ не превышает 0,01. Используя данные приведенного выше примера, можно рассчитать эквивалентную емкость C_{cz}^* и входную емкость согласующего устройства соответственно по выражениям (5) и (6).

Исходя из этих данных, граничная частота, рассчитанная по выражениям (2) и (4), для схемы рис. 3 составляет 850 кгц при той же частотной погрешности 1%*. Экспериментально измеренная граничная частота составляет 700 кгц. Это несовпадение частоты $F_{\text{гр}}$ с расчетной можно объяснить наличием дополнительных монтажных емкостей, которые не были учтены.

ЛИТЕРАТУРА

1. В. М. Белов, И. Ф. Клисторин, А. Е. Подзин. Принцип построения универсального автоматического цифрового вольтметра.—Автометрия, 1969, № 2.
2. Р. Лэиди, Д. Дэвис, А. Альбрехт. Справочник радиоинженера. М.—Л., Госэнергоиздат, 1961.
3. Я. Т. Загорский, Д. Г. Левченко, В. М. Носов. О принципах построения измерительных усилителей переменного напряжения на транзисторах.—Автометрия, 1966, № 6.
4. А. Я. Федотов. Основы физики полупроводниковых приборов. М., «Советское радио», 1963.

*Поступила в редакцию
4 ноября 1969 г.*

* Следует заметить, что при использовании такого УДН в АЦВ переменного тока указанная погрешность появляется при измерении минимального напряжения на выбранном пределе. При этом приведенная погрешность АЦВ при 4 десятичных разрядах будет составлять 0,01%.